

CORRIGÉ DU DEVOIR À LA MAISON 12

Exercice 1 – Mode AC de l'oscilloscope

1. L'oscilloscope étant branché en dérivation sur le dipôle dont on souhaite mesurer la tension, il faut que la résistance d'entrée R de l'oscilloscope soit la plus grande possible (très grande devant l'impédance du dipôle à étudié) pour qu'il ne perturbe pas le circuit étudié (aucun courant absorbé par l'oscilloscope).

2. En mode DC : $s(t) = e(t)$

3. BF : C équivalent à un interrupteur ouvert : $s(t) = Ri(t) = 0$

HF : C équivalent à un interrupteur fermé : $s(t) = e(t)$

Filtre passé-haut d'ordre 1

4. Loi des mailles :

$$e(t) = u_C(t) + s(t) \quad \text{et} \quad i(t) = C \frac{du_C(t)}{dt}$$

Dérivation :

$$\frac{de(t)}{dt} = \frac{du_C(t)}{dt} + \frac{ds(t)}{dt} = \frac{i(t)}{C} + \frac{ds(t)}{dt}$$

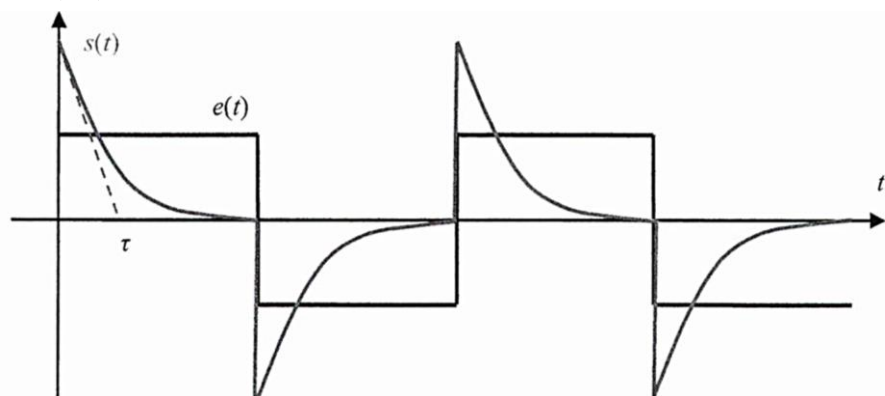
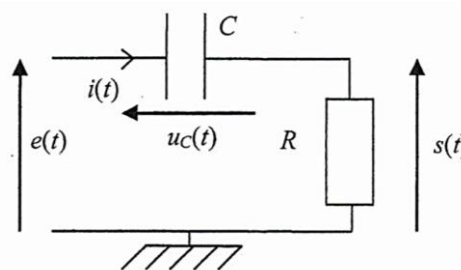
Loi d'Ohm : $s(t) = Ri(t)$

$$\frac{de(t)}{dt} = \frac{s(t)}{RC} + \frac{ds(t)}{dt} \Leftrightarrow \tau \frac{ds(t)}{dt} + s(t) = \tau \frac{de(t)}{dt} \quad \text{avec } \tau = RC$$

5. On branche à l'entrée de l'oscilloscope un GBF délivrant une tension $e(t)$ en créneaux, de fréquence suffisamment faible pour que le régime permanent soit atteint. Sur chaque demi-période, $s(t)$ vérifie l'équation différentielle :

$\tau \frac{ds(t)}{dt} + s(t) = 0$ dont la solution est $s(t) = Ae^{-\frac{t}{\tau}}$. Il faut que la période de $e(t)$ vérifie $T_e \gg \tau$.

On mesure la constante de temps τ avec la tangente à l'origine ou lorsque $s(\tau) = 0,37s(0^+)$.



On observe une discontinuité en $t=0$ car le filtre passe-haut laisse passer la discontinuité (variation brutale) de $e(t)$.

6.

| Grandeurs temporelles | Grandeurs complexes |
|---------------------------------------|--|
| $e(t) = E_M \cos(\omega t)$ | $\underline{e}(t) = E_M e^{j\omega t} = \underline{E} e^{j\omega t}$ avec $\underline{E} = E_M$ |
| $s(t) = S_M \cos(\omega t + \varphi)$ | $\underline{s}(t) = S_M e^{j(\omega t + \varphi)} = \underline{S} e^{j\omega t}$ avec $\underline{S} = S_M e^{j\varphi}$ |

Passage de l'équation différentielle en complexe :

$$\tau \frac{d\underline{s}(t)}{dt} + \underline{s}(t) = \tau \frac{d\underline{e}(t)}{dt} \Leftrightarrow (\tau j\omega + 1)\underline{s}(t) = \tau j\omega \underline{e}(t)$$

$$\underline{H}(j\omega) = \frac{\underline{s}(t)}{\underline{e}(t)} = \frac{j\tau\omega}{1 + j\tau\omega} = \frac{j \frac{\omega}{\omega_c}}{1 + j \frac{\omega}{\omega_c}} \text{ avec } \omega_c = \frac{1}{\tau} = \frac{1}{RC}$$

7. Fréquence de coupure : $f_c = \frac{\omega_c}{2\pi} = \frac{1}{2\pi RC}$ soit $C = \frac{1}{2\pi R f_c} = 20 \text{ nF}$.

8. Module ou gain : $G(\omega) = \frac{\frac{\omega}{\omega_c}}{\sqrt{1 + \left(\frac{\omega}{\omega_c}\right)^2}}$ soit $G(f) = \frac{\frac{f}{f_c}}{\sqrt{1 + \left(\frac{f}{f_c}\right)^2}}$

Argument ou phase : $\varphi(\omega) = \arg\left(j \frac{\omega}{\omega_c}\right) - \arg\left(1 + j \frac{\omega}{\omega_c}\right) = \frac{\pi}{2} - \arctan\left(\frac{\omega}{\omega_c}\right)$ soit

$$\varphi(f) = \frac{\pi}{2} - \arctan\left(\frac{f}{f_c}\right)$$

9.

```
7 ## Cellule 1 : Importation des bibliothèques utiles
8 import numpy as np          # pour la manipulation des tableaux
9 import matplotlib.pyplot as plt # pour les représentations graphiques
```

10.

```
11 ## Cellule 2: Données du problème physique
12 fe = 100          # fréquence du signal e (en Hz)
13 E0 = 0.5          # Valeur moyenne du signal e (en V)
14 A = 1             # Amplitude du signal e (en V)
```

11.

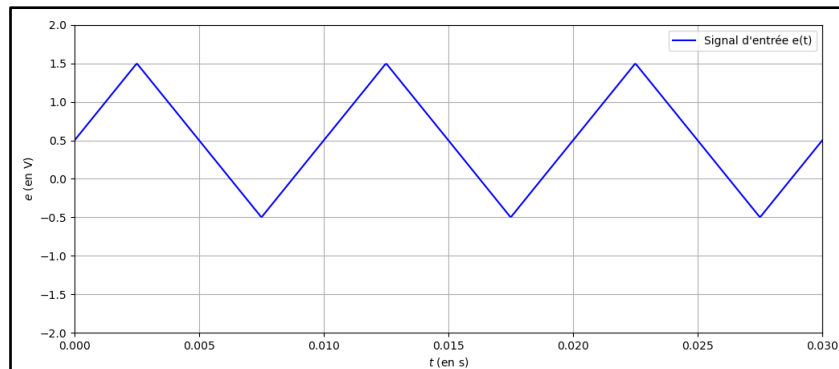
```
16 ## Cellule 3 : Synthèse spectrale du signal e
17 N = 50            # Nombre d'harmoniques non nuls impairs pris en compte
18
19 def e(t):
20     """ Fonction qui évalue le signal e à l'instant t """
21     e = E0          # prise en compte de la composante continue
22     for n in range(0, N+1):
23         Bn = 8*A* (-1)**n / np.pi**2 / (2*n+1)**2 # Amplitude de l'harmonique de rang impair 2n+1
24         en = Bn * np.sin(2*np.pi*(2*n+1)*fe*t) # Expression de l'harmonique de rang impair 2n+1
25         e = e + en  # Expression de e par sommation des composantes
26     return e
```

12.

```

28 ## Cellule 4: Représentation graphique du signal e
29 """
30 t = np.linspace(tmin, tmax, N)
31 Renvoie un tableau de N points régulièrement espacés entre tmin (inclus) et tmax (inclus)
32 """
33 t = np.linspace(0, 3/fe, 600)          # Tableau des valeurs de t représentées
34
35 plt.figure(figsize = (12,5))
36 plt.plot(t, e(t), 'b-', label="Signal d'entrée e(t)") # Tracé du signal e(t) en trait bleu
37 plt.xlim(0, 3/fe)
38 plt.ylim(-2,2)
39 plt.xlabel(r"$t$ (en s)")
40 plt.ylabel(r"$e$ (en V)")
41 plt.grid()
42 plt.legend(loc = 'upper right')
43 plt.show()

```



13.

```

45 ## Cellule 5 : Définition du gain et du déphasage introduits par le filtre
46 def G(f, fc):
47     """ Fonction qui renvoie le gain du filtre à la fréquence f (fc : fréquence de coupure du filtre) """
48     return (f/fc)/np.sqrt(1+(f/fc)**2)
49
50 def phi(f, fc):
51     """ Fonction qui renvoie la phase du filtre à la fréquence f (fc : fréquence de coupure du filtre) """
52     return np.pi/2 - np.arctan(f/fc)

```

14.

```

54 ## Cellule 6 : Synthèse spectrale du signal de sortie du filtre en réponse au signal e
55 def s(t, fc):
56     """ Fonction qui évalue le signal s, à l'instant t, en sortie du filtre passe-bas
57     dont la fréquence de coupure est fc. """
58     s = G(0,fc)*E0*np.sin(phi(0,fc))          # calcul de la composante continue de s(t)
59     for n in range(0, N+1):                  # calcul des composantes spectrales suivantes
60         Bn = 8*A* (-1)**n / np.pi**2 / (2*n+1)**2 # amplitude de l'harmonique de rang 2n+1 pour e(t)
61         Sn = G((2*n+1)*fe, fc)*Bn             # amplitude de l'harmonique de rang 2n+1 pour s(t)
62         phin = phi((2*n+1)*fe, fc)            # phase à l'origine de l'harmonique de rang 2n+1 pour s(t)
63         sn = Sn* np.sin(2*np.pi*(2*n+1)*fe*t + phin) # Expression de l'harmonique de rang impair 2n+1
64         s = s + sn
65     return s

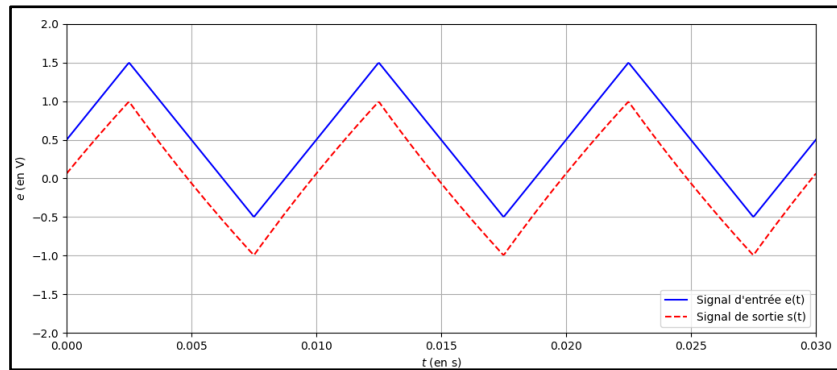
```

15.

```

67 ## Cellule 7 : Représentation graphique du signal s
68 fc = 8          # Fréquence de coupure du filtre
69
70 plt.figure(figsize = (12,5))
71 plt.plot(t, e(t), 'b-', label="Signal d'entrée e(t)") # Tracé du signal e(t) en trait bleu
72 plt.plot(t, s(t, fc), 'r--', label = "Signal de sortie s(t)") # Tracé du signal s(t) en pointillés (--)
73 # rouges
74 plt.xlim(0, 3/fe)
75 plt.ylim(-2,2)
76 plt.xlabel(r"$t$ (en s)")
77 plt.ylabel(r"$s$ (en V)")
78 plt.grid()
79 plt.legend(loc = 'lower right')
80 plt.show()

```

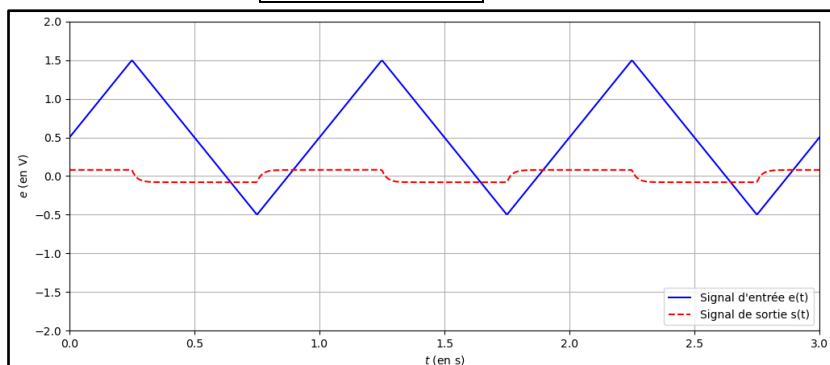


16. Le filtre passe-haut du mode AC supprime la composante continue de $e(t)$. L'allure de $s(t)$ est triangulaire : le filtre ne modifie pas les autres composantes de $e(t)$. Le mode AC permet de ne visualiser que la composante alternative de $e(t)$.

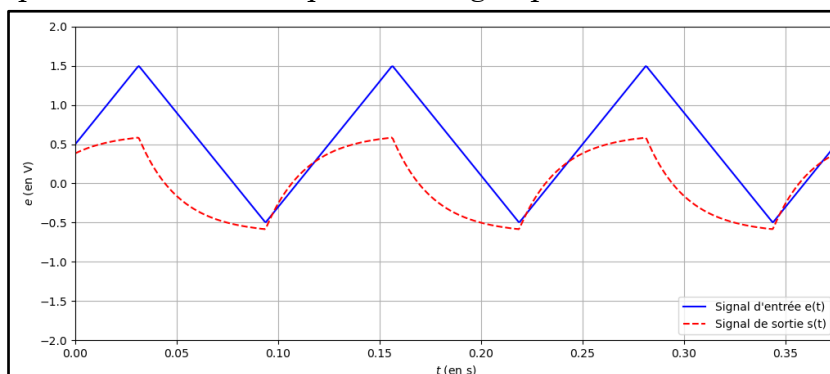
17. Pour $f_e = 1 \text{ Hz} \ll f_c$. Le signal $s(t)$ est de forme cr neau. Pour chaque portion rectiligne de $e(t)$, $s(t)$ est constante : le filtre se comporte comme un d rivateur dans le domaine temporel.

Justification : $f \ll f_c$ ou $\omega \ll \omega_c$: $\underline{H}(j\omega) = \frac{\underline{s}(t)}{\underline{e}(t)} \simeq j \frac{\omega}{\omega_c} \Leftrightarrow \underline{s}(t) = j \frac{\omega}{\omega_c} \underline{e}(t)$

Dans le domaine temporel : $s(t) = \frac{1}{\omega_c} \frac{de(t)}{dt}$



18. Pour $f_e = 8 \text{ Hz} = f_c$, l'allure du signal $s(t)$ n'est pas triangulaire : le signal est d form . Le filtre att nue le fondamental (l'amplitude est multipli e par $\frac{1}{\sqrt{2}}$) mais laisse passer les harmoniques de rang sup rieur.



19. À partir de fréquence $f_e = 10f_c$, le mode AC de l'oscilloscope ne modifie pas la composante alternative du signal d'entrée $e(t)$: elle reste de forme triangulaire non déformée.

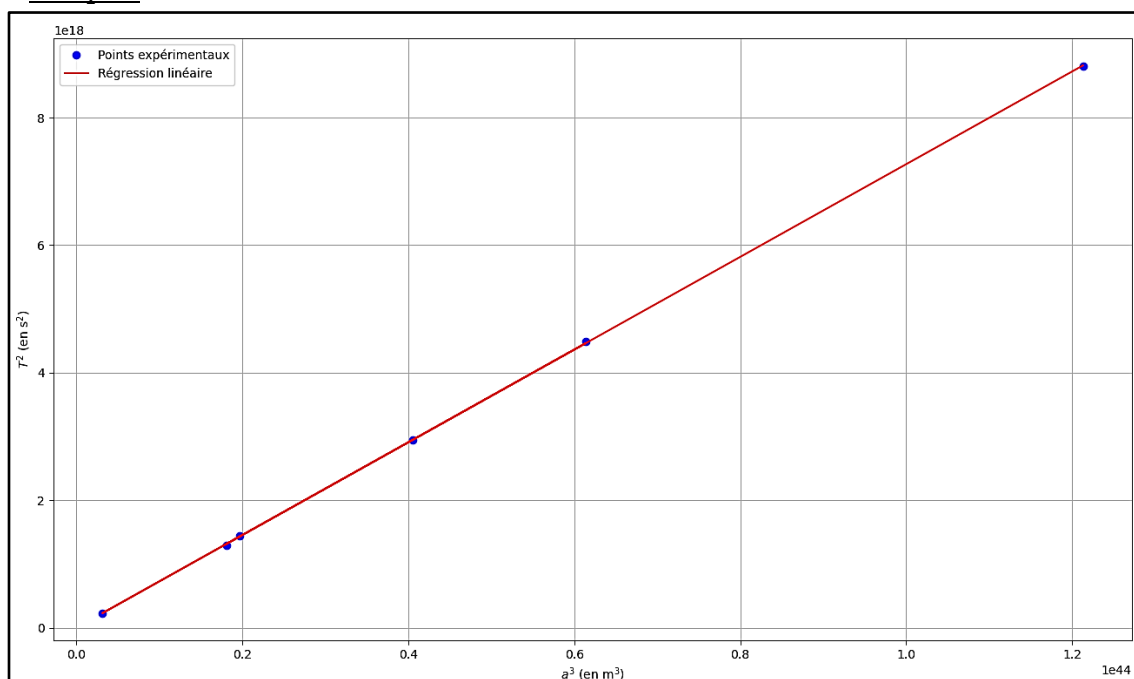
Exercice 2 – Vérification de la 3^{ème} loi de Kepler

❖ Simulation numérique en Python : Vérification de la 3^{ème} loi de Kepler

Astuce Python : Pour effectuer la même opération mathématique sur chaque élément d'un tableau, il suffit d'effectuer cette opération directement sur le tableau ! C'est le cas ici pour les conversions d'unités, et l'élévation au carré ou au cube...

Commentaire : on vérifie la loi de Kepler car la régression linéaire de T^2 en fonction de a^3 passe par les points expérimentaux

➤ Graph



❖ Simulation numérique en Python : Masse du trou noir

Loi de Kepler : $\frac{T^2}{a^3} = \frac{4\pi^2}{GM}$ soit $M = \frac{4\pi^2}{G} \frac{a^3}{T^2}$

Masse du trou noir (obtenue par étude statistique) : $M = \frac{4\pi^2}{G} \frac{1}{K}$

Incertitude-type composée : $\frac{u(M)}{M} = \frac{u(K)}{K} \Leftrightarrow u(M) = M \frac{u(K)}{K}$

Valeurs numériques : $M = 8,1581 \cdot 10^{36} \text{ kg}$ et $u(M) = 0,0307 \cdot 10^{36} \text{ kg}$

➤ Écart normalisé : $EN = \frac{|M - M_t|}{\sqrt{u^2(M) + u^2(M_t)}} = 2,3$: de l'ordre de 2, donc

l'estimation est correcte.

➤ Script Python :

```

1  """Exécuter les cellules les unes après les autres après les avoir complétées
2  en cliquant sur Run puis Execute Cell (ou CTRL + Entrée)
3  Pour exécuter l'ensemble du fichier : CTRL + E
4  """
5  # 3ème loi de Kepler
6
7  ## Cellule 1 : Importation des bibliothèques utiles
8  import numpy as np          # pour la manipulation des tableaux
9  import matplotlib.pyplot as plt # pour les représentations graphiques
10
11  ## Cellule 2 : Vérification de la 3ème loi de Kepler
12  tabT = np.array([94.1,15.24,67.2,54.4,36.,38])*365*24*3600 # Tableau des périodes T en secondes!
13  taba = np.array([3300.,980.,2630.,2290.,1750.,1800.])*1.5*10**11 # Tableau des demi-grand axes a en
    mètres!
14  x = taba**3                # Tableau des abscisses a^3
15  y = tabT**2                # Tableau des ordonnées T^2
16  """
17  p = np.polyfit(x, y, n)
18  Modélise la courbe y = f(x) par un polynôme de degré n
19  Arguments:
20      x : tableau des abscisses
21      y : tableau des ordonnées
22      n : degré du polynôme (pour n = 1 : régression linéaire)
23  Renvoie:
24      p : tableau des coefficients du polynôme tel que :
25          p[0] : coefficient de degré n, p[1] : coefficient de degré n-1...
26          p[n] : coefficient de degré 0
27  """
28
29  p = np.polyfit(x, y, 1) # Tableau des coefficients de la régression linéaire de y en fonction de x
30  ymodele = p[0]*x + p[1] # Equation de la régression linéaire ymodele en fonction de x
31
32  plt.figure(figsize = (16,9))
33  plt.plot(x, y, 'bo', label="Points expérimentaux") # Tracé des points expérimentaux avec des ronds
    bleus
34  plt.plot(x, ymodele, 'r-', label="Régression linéaire") # Tracé de la régression linéaire en trait
    rouge
35  plt.xlabel(r"$a^3$ (en m$^3$)")
36  plt.ylabel(r"$T^2$ (en s$^2$)")
37  plt.grid()
38  plt.legend(loc = 'upper left')
39  plt.show()
40
41  ## Cellule 3 : Masse du trou noir
42  tabK = tabT**2 / taba**3 # Tableau des valeurs T^2 / a^3
43  K = np.mean(tabK)        # Valeur moyenne
44  sK = np.std(tabK,ddof=1)  # Ecart-type expérimental
45  uK = sK / np.sqrt(len(tabK)) # Incertitude-type
46
47  G = 6.67*1e-11 # Constante de gravitation
48  M = 4 * np.pi**2 / (G*K) # Expression de la masse M
49  uM = M * uK / K          # Expression de l'incertitude-type uM
50  print(f"Masse du trou noir : M = {M:.4e} kg") #Affichage de la masse du trou noir
51  print(f"Incertitude-type : u(M) = {uM:.2e} kg ") #Affichage de l'incertitude-type
52
53  ## Cellule 4 : Ecart normalisé
54  Mt = 8.2541*1e36          # Valeur tabulée de M
55  uMt = 0.0278*1e36         # Valeur tabulée de uM
56  EN = abs(M - Mt) / np.sqrt(uM**2 + uMt**2) # Calcul de l'écart normalisé
57  print(f"Ecart normalisé : EN = {EN:.1f}") #Affichage de l'écart normalisé

```

➤ Affichage des résultats

```

Masse du trou noir : M = 8.1581e+36 kg
Incertitude-type : u(M) = 3.07e+34 kg
Ecart normalisé : EN = 2.3

```